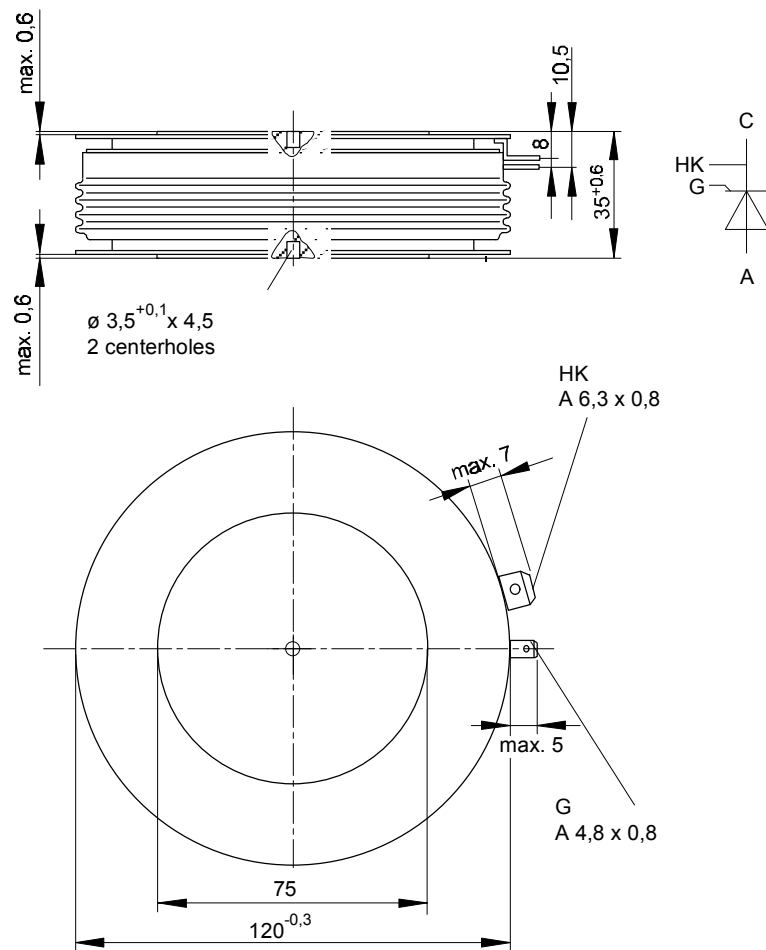




European Power-
Semiconductor and
Electronics Company

Marketing Information T 2101 N



Netz Thyristor

Phase Control Thyristor

Elektrische Eigenschaften**Höchstzulässige Werte**

Periodische Vorwärts- und Rückwärts-Spitzenspannung	repetitive peak forward off-state and reverse voltages	$t_{vj} = -40^\circ\text{C} \dots t_{vj \max}$ $f = 50 \text{ Hz}$	V_{DRM}, V_{RRM}	2000	2200 2400 V 2500 2600 V
Durchlaßstrom-Grenzeffektivwert	RMS on-state current	$t_c = 85^\circ\text{C}, f = 50 \text{ Hz}$	I_{TRMSM}		5000 A
Dauergrenzstrom	average on-state current	$t_c = 60^\circ\text{C}, f = 50 \text{ Hz}$	I_{TAVM}		2200 A 3100 A
Stoßstrom-Grenzwert	surge current	$t_{vj} = 25^\circ\text{C}, t_p = 10 \text{ ms}$ $t_{vj} = t_{vj \max}, t_p = 10 \text{ ms}$	I_{TSM}		48 kA 45 kA
Grenzlastintegral	$I^2 t$ -value	$t_{vj} = 25^\circ\text{C}, t_p = 10 \text{ ms}$ $t_{vj} = t_{vj \max}, t_p = 10 \text{ ms}$	$I^2 t$		$11,5 \cdot 10^6 \text{ A}^2\text{s}$ $10,1 \cdot 10^6 \text{ A}^2\text{s}$
Kritische Stromteilheit	critical rate of rise of on-state current	DIN IEC 747-6 $f = 50 \text{ Hz}, i_{GM} = 2 \text{ A}, di_G/dt = 4 \text{ A}/\mu\text{s}$	$(di_I/dt)_{cr}$		$150 \text{ A}/\mu\text{s}$
Kritische Spannungssteilheit	critical rate of rise of off-state voltage	$t_{vj} = t_{vj \max}, V_D = 0,67 V_{DRM}$	$(dv/dt)_{cr}$		$1000 \text{ V}/\mu\text{s}$

Charakteristische Werte

Durchlaßspannung	on-state voltage	$t_{vj} = t_{vj \max}, i_T = 2 \text{ kA}$	v_T	1,08	1,2 V
Schleusenspannung	threshold voltage	$t_{vj} = t_{vj \max}$	$V_{T(TO)}$	0,85	0,92 V
Ersatzwiderstand	slope resistance	$t_{vj} = t_{vj \max}$	r_T	0,115	$0,139 \text{ m}\Omega$
Durchlaßrechenkennlinien	on-state characteristics for calculation	$t_{vj} = t_{vj \max}$	A	0,71	0,712
$V_T = A + B \cdot i_T + C \cdot \ln(i_T + 1) + D \cdot \sqrt{i_T}$			B	0,0000604	0,0000706
			C	-0,0169	-0,004
			D	0,00848	0,00856

Zündstrom	gate trigger current	$t_{vj} = 25^\circ\text{C}, v_D = 6 \text{ V}$	I_{GT}	max. 300 mA
Zündspannung	gate trigger voltage	$t_{vj} = 25^\circ\text{C}, v_D = 6 \text{ V}$	V_{GT}	max. 2,5 V
Nicht zündender Steuerstrom	gate non-trigger current	$t_{vj} = t_{vj \max}, v_D = 6 \text{ V}$	I_{GD}	20 mA
		$t_{vj} = t_{vj \max}, v_D = 0,5 V_{DRM}$		10 mA
Nicht zündende Steuerspannung	gate non-trigger voltage	$t_{vj} = t_{vj \max}, v_D = 0,5 V_{DRM}$	V_{GD}	0,4 V
Haltestrom	holding current	$t_{vj} = 25^\circ\text{C}, v_D = 12 \text{ V}, R_A = 4,7 \Omega$	I_H	350 mA
Einraststrom	latching current	$t_{vj} = 25^\circ\text{C}, v_D = 12 \text{ V}, R_{GK} \geq 10 \Omega$ $i_{GM} = 2 \text{ A}, di_G/dt = 4 \text{ A}/\mu\text{s}, t_g = 20 \mu\text{s}$	I_L	max. 2 A
Vorwärts- und Rückwärts-Sperrstrom	forward off-state and reverse currents	$t_{vj} = t_{vj \max}, v_D = V_{DRM}, v_R = V_{RRM}$	i_D, i_R	200 mA
Zündverzug	gate controlled delay time	DIN IEC 747-6	t_{gd}	2 μs
Freiwerdezeit	circuit commutated turn-off time	$t_{vj} = 25^\circ\text{C}, i_{GM} = 2 \text{ A}, di_G/dt = 4 \text{ A}/\mu\text{s}$ $t_{vj} = t_{vj \max}, i_{TM} = I_{TAVM}$ $v_{RM} = 100 \text{ V}, v_{DM} = 0,67 V_{DRM}$ $dv_D/dt = 20 \text{ V}/\mu\text{s}, -di_I/dt = 10 \text{ A}/\mu\text{s}$ 4. Kennbuchstabe / 4th letter O	t_q	typ. 250 μs
Sperrverzögerungsladung	recovered charge	$t_{vj} = t_{vj \max}$ $i_{TM} = 2 \text{ kA}, di/dt = 10 \text{ A}/\mu\text{s}$ $V_R = 0,5 V_{RRM}, V_{RM} = 0,8 V_{RRM}$	Q_r	max. 250 μs max. 8 mAs
Rückstromspitze	peak reverse recovery current	$t_{vj} = t_{vj \max}$ $i_{TM} = 2 \text{ kA}, di/dt = 10 \text{ A}/\mu\text{s}$ $V_R = 0,5 V_{RRM}, V_{RM} = 0,8 V_{RRM}$	I_{RM}	280 A

Thermische Eigenschaften

Innerer Wärmewiderstand für beidseitige Kühlung	thermal resistance, junction to case for two-sided cooling	$\Theta = 180^\circ \text{ el, sin DC}$	R_{thJC}	max. 0,0107 $^\circ\text{C}/\text{W}$
Übergangs-Wärmewiderstand	thermal resistance, case to heatsink	beidseitig / two-sided	R_{thCK}	max. 0,0100 $^\circ\text{C}/\text{W}$
Höchstzul. Sperrschiichttemperatur	max. junction temperature		$t_{vj \max}$	max. 0,0025 $^\circ\text{C}/\text{W}$
Betriebstemperatur	operating temperature		$t_{c op}$	125 $^\circ\text{C}$
Lagertemperatur	storage temperature		t_{stg}	-40...+125 $^\circ\text{C}$

Mechanische Eigenschaften

Si-Element mit Druckkontakt	Mechanical properties			
Anpreßkraft	Si-pellet with pressure contact			
Gewicht	clamping force		F	36...52 kN
Kriechstrecke	weight		G	typ. 1700 g
Feuchtekategorie	creepage distance			33 mm
Schwingfestigkeit	humidity classification	DIN 40040		C
	vibration resistance	$f = 50 \text{ Hz}$		50 m/s ²

Mit dieser technischen Information werden Halbleiterbauelemente spezifiziert, jedoch keine Eigenschaften zugesichert. Sie gilt in Verbindung mit den zugehörigen Technischen Erläuterungen. This technical information specifies semiconductor devices but promises no characteristics. It is valid in combination with the belonging technical notes.

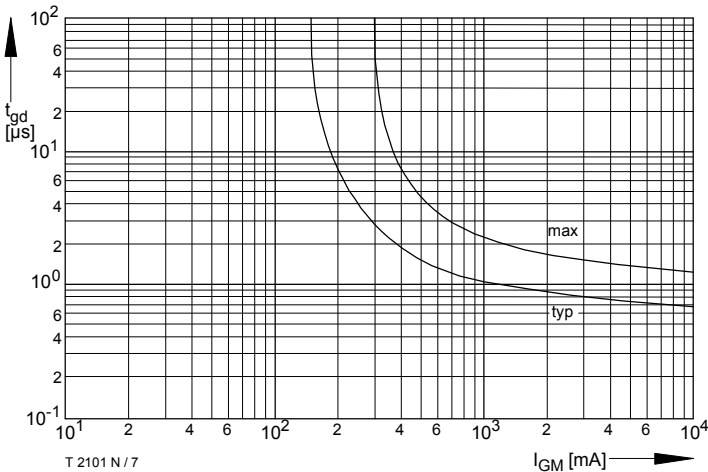


Bild / Fig. 7
Zündverzug / Gate controlled delay time $t_{gd} = f(i_{GM})$
 $t_{vj} = 25^\circ\text{C}$, $di_G/dt = i_{GM}/1\mu\text{s}$

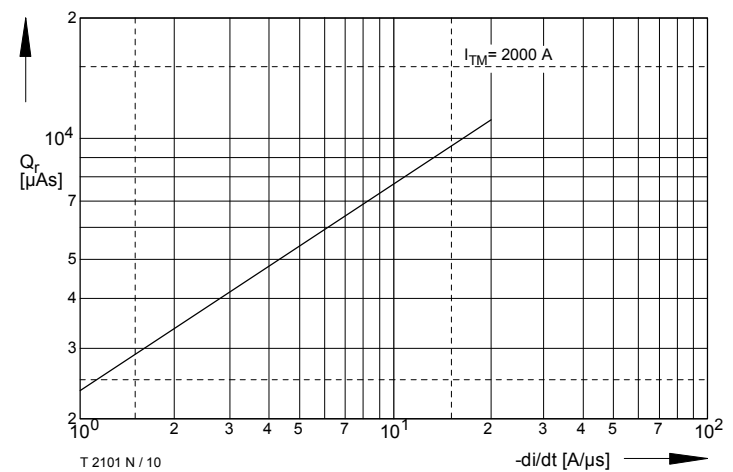


Bild / Fig. 8
Sperrverzögerungsladung / Recovered charge $Q_r = f(-di/dt)$
 $t_{vj} = t_{vj \text{ max}}$, $V_R = 0,5 V_{RRM}$, $VRM = 0,8 V_{RRM}$
Parameter: Durchlaßstrom / On-state current i_{TM}

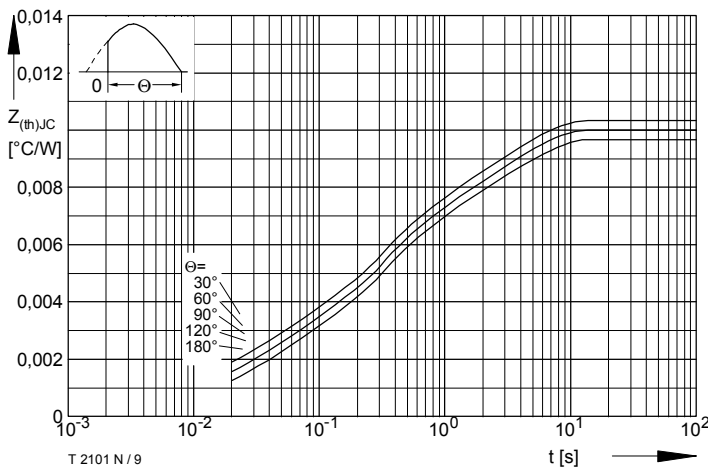


Bild / Fig. 9
Transienter innerer Wärmewiderstand / Transient thermal impedance
 $Z_{thJC} = f(t)$
Parameter: Stromflußwinkel / current conduction angle θ
Beidseitige Kühlung / two-sided cooling

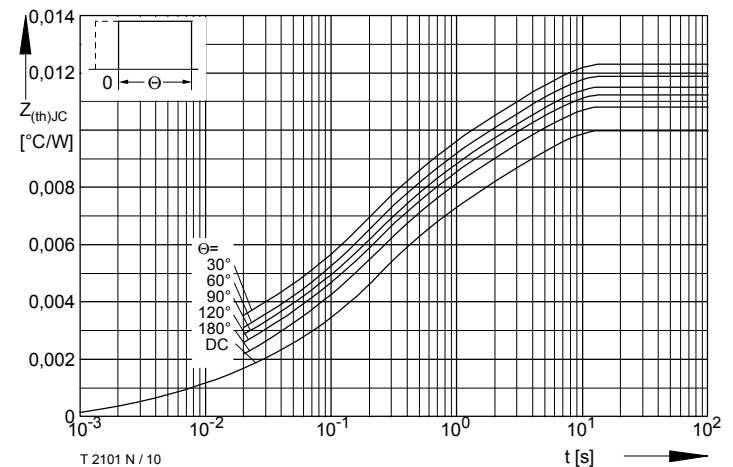


Bild / Fig. 10
Transienter innerer Wärmewiderstand / Transient thermal impedance
 $Z_{thJC} = f(t)$
Parameter: Stromflußwinkel / current conduction angle θ
Beidseitige Kühlung / two-sided cooling

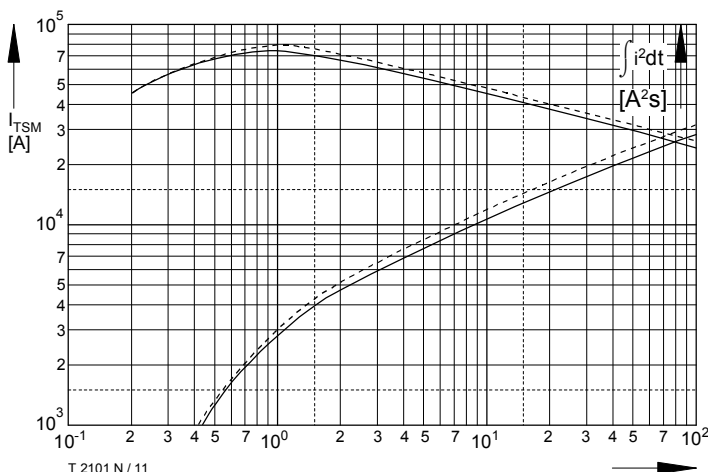


Bild / Fig. 11
Stoßstrom-Grenzwert $I_{FSM} = f(t_p)$
Grenzlastintegral $\int i^2 dt = f(t_p)$
 $t_{vj} = 25^\circ\text{C} / 125^\circ\text{C}$, $V_R = 0 \text{ V}$

Analytische Elemente des transienten Wärmewiderstandes Z_{thJC} pro Zweig für DC
Analytical elements of transient thermal impedance Z_{thJC} per arm for DC

Pos. n	1	2	3	4	5
$R_{thn} [^\circ\text{C}/\text{W}]$	0,00037	0,00088	0,0012	0,004	0,00355
$\tau_n [\text{s}]$	0,0021	0,011	0,045	0,31	3,02

Analytische Funktion / Analytical function:

$$Z_{thJC} = \sum_{n=1}^{n_{\max}} R_{thn} (1 - e^{-\frac{t}{\tau_n}})$$

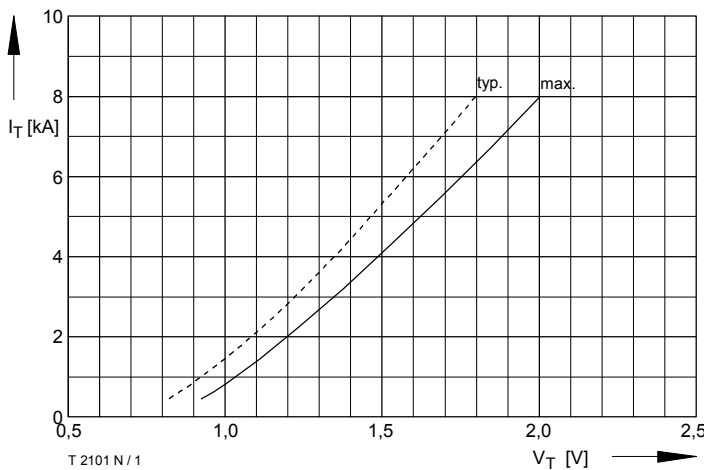


Bild / Fig. 1
Grenzdurchlaßkennlinien / Limiting on-state characteristics
 $i_T = f(V_T)$, $t_{vj} = t_{vj \max}$

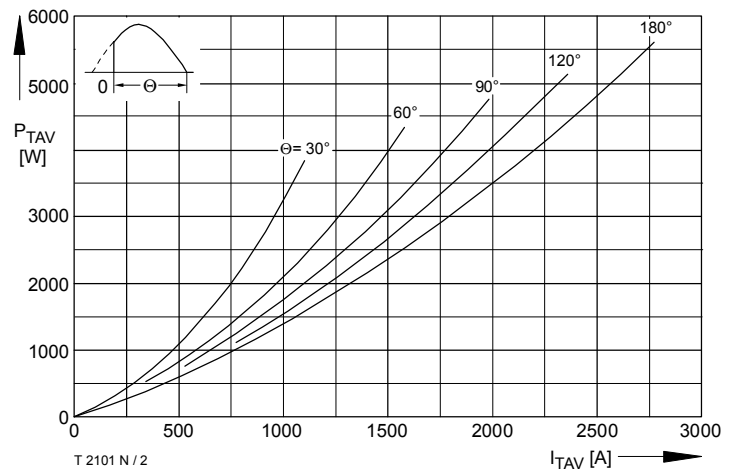


Bild / Fig. 2
Durchlaßverlustleistung / On-state power loss $P_{TAV} = f(I_{TAV})$
Parameter: Stromflußwinkel / Current conduction angle θ

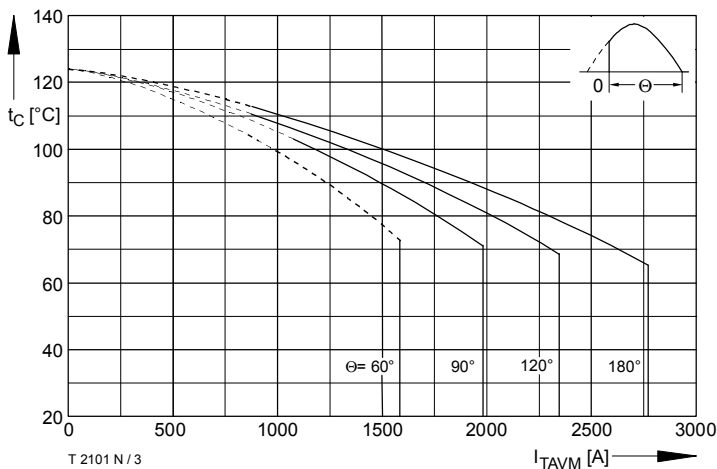


Bild / Fig. 3
Höchstzulässige Gehäusetemperatur / Max. allowable case temperature
 $t_C = f(I_{TAVM})$
Beidseitige Kühlung / Two-sided cooling
Parameter: Stromflußwinkel / Current conduction angle θ
Berechnungsgrundlage P_{TAV} (Schaltverluste gesondert berücksichtigen) /
Calculation base P_{TAV} (switching losses should be considered separately)

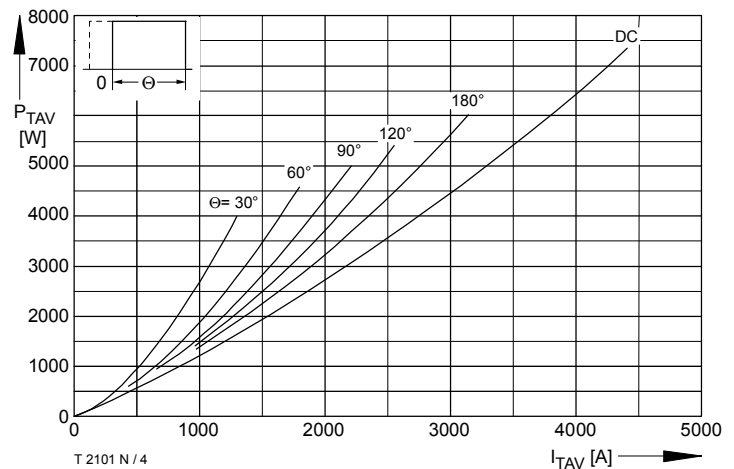


Bild / Fig. 4
Durchlaßverlustleistung / On-state power loss $P_{TAV} = f(I_{TAV})$
Parameter: Stromflußwinkel / Current conduction angle θ

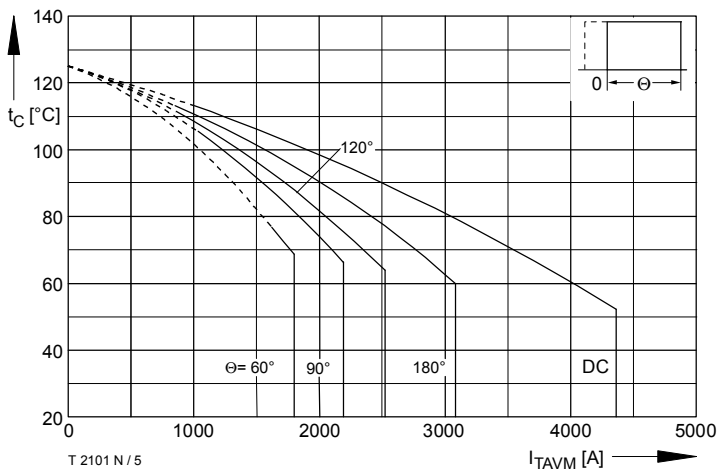


Bild / Fig. 5
Höchstzulässige Gehäusetemperatur / Max. allowable case temperature
 $t_C = f(I_{TAVM})$
Beidseitige Kühlung / Two-sided cooling
Parameter: Stromflußwinkel / Current conduction angle θ
Berechnungsgrundlage P_{TAV} (Schaltverluste gesondert berücksichtigen) /
Calculation base P_{TAV} (switching losses should be considered separately)

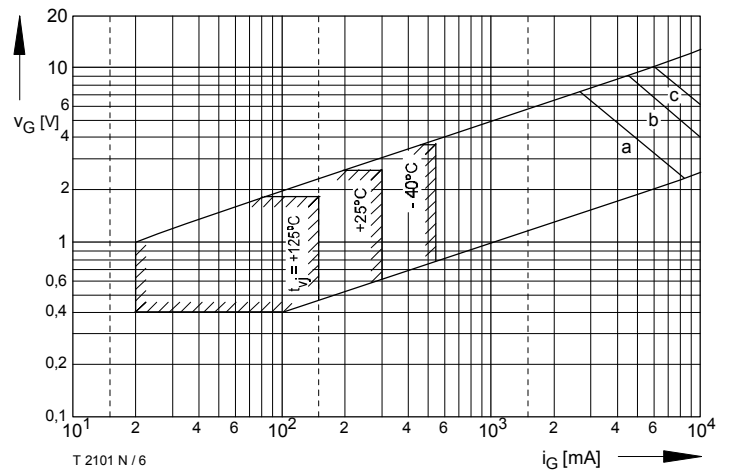


Bild / Fig. 6
Steuercharakteristik mit Zündbereichen / Gate characteristic with triggering areas $v_G = f(i_G)$, $V_D = 6 \text{ V}$
Parameter:
a b c
Steuerimpulsdauer / trigger pulse duration t_g [ms] 10 1 0,5
Höchstzulässige Spitzensteuerverlustleistung /
Max. rated peak gate power dissipation [W] 20 40 60